

京都大学防災研究所 正会員 道上 正規

1. はじめに 本研究は、有田川水系に昭和42年に建設された二川ダム（集水面積 228.8 km²、貯水容量 30 × 10⁶ m³）の堆砂資料を用いて、貯水池堆砂量の推定方法、河床材料の粒度変化特性および堆砂形状に関する数値シミュレーションについてである。

2. 基礎方程式 大規模スケールの河床変動の解析は、水流の運動方程式、流砂の連続式および流砂量式を連立させて行われるが、ここではさらに混合粒径の効果を考慮して粒度の連続式を用いて解析式試みた。基準面から垂直に距離をとり、河床面より高さをとると、不等流の運動方程式は次のように書ける。

$$\frac{d(U^2/g)}{dx} + dh/dx + dZ/dx + U_e^2/gR = 0 \quad (1)$$

ここで、記号は慣用されるものと用いてある。流砂に関する諸式は次式のようになる。

$$g_{BL}/i_b u_{*e} d_i = 17 T_{ecl} (1 - T_{ecl}/T_e) (1 - \sqrt{T_{ecl}/T_e}) \quad (2)$$

$$\partial Z/\partial t = -1/(1-\lambda) B \cdot \partial(g_{BT} B)/\partial x \quad (3)$$

$$\alpha(1-\lambda) \partial h/\partial t + (1-\lambda) i_b \partial Z/\partial t = -\partial(L_B g_{BT} B)/\partial x B \quad (4)$$

ここで、 g_{BL} ：粒径 d_i の揚流砂量、 i_b ：河床において d_i の砂陥が占める割合、 $g_{BT} = \sum g_{BL}$ 、 $L_B = g_{BL}/g_{BT}$ 、 α ：交換層の厚さ、 U_{*e} ：有効摩擦速度、 λ ：空隙率、 $T_{ecl} = U_{*e}^2 / (C/5 - 1) g d_i$ 、 $T_e = U_{*e}^2 / (C/5 - 1) g d_i$ である。上式で(4)式が粒度の連続式であるが、(1)～(4)式を差分化して数値シミュレーションを行うこととする。

3. 計算方法 (2)式の混合砂礫の流砂量式を適用するにあたっては、有効摩擦力の式と粒径別の限界揚流砂量式を用ひなければならぬ。また、このように計算では(3)式から明らかなように、河床変動量 ΔZ は、 $\Delta t/\Delta x$ によって大きく左右される。 $\Delta t/\Delta x$ が大きすぎると、 ΔZ が不安定となるので、 $\Delta t/\Delta x$ を小さくすることは必要があるが、しかしこれをあまり小さくすると、計算時間が長くなるので、最適値を遡らなければならぬ。ここでは $\Delta Z/h$ が 0.1 以下に保つように $\Delta t/\Delta x$ を選んだ。一方、粒度の連続式からも推察できるように、 $\Delta t/\Delta x$ を大きくとり過ぎると、交換層厚 α がもたらす $\Delta t/\Delta x$ は制約を受ける。ここでは、 $\Delta x = 200 m$ 、 $\Delta t = 2 \sim 6$ 時間とした。

4. 計算結果と考察 (1) モデル河床³⁾ まず二川ダムの諸量をモデル化して堆砂形状の特性を検討した。河床勾配 Y_{100} 、 $Q = 200 m^3/s$ 、 $n = 0.04$ 、 $a = 48 cm$ 、貯水池水位 187 m、河床砂の粒度分布として図-2 の $T=0$ の値を用いて、揚流砂による堆砂形状のシミュレーション結果が図-1 に示されている。ただし、上流端の境界条件として、河床高および河床の粒度条件はそれを次式が用ひられてある。

$$\frac{\partial Z}{\partial t}|_{x=N\Delta x} = \frac{\partial Z}{\partial t}|_{x=(N-1)\Delta x} \quad (5)$$

$$\frac{\partial h}{\partial t}|_{x=N\Delta x} = \frac{\partial h}{\partial t}|_{x=(N-1)\Delta x} \quad (6)$$

図-1 よりデルタの先端は時間とともに前進し、デルタ肩はほぼ水平に移動していくことが理解される。この結果は実験的研究でも指摘されており、流量、水位が一定の場合には、このような形でデルタが形成されるものと思われる。河床材料はデルタの先端を通ずること、著しく下流へ運ばれ、デルタ肩が下流に移動してしまうと云ふ現象の間に溝が形成される。このような条件下では、背砂の領域もかなり上流に逆上してくるのがわかる。

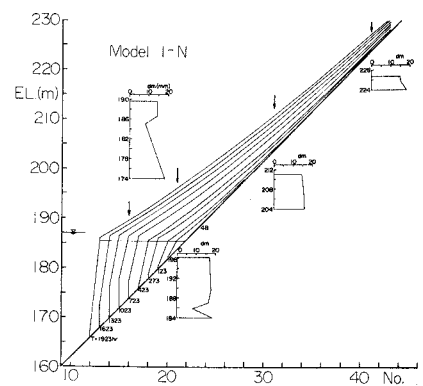


図-1 堆砂形状と粒度変化

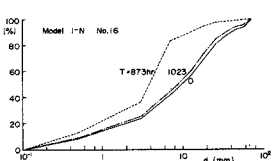


図-2 粒度分布

(2) Case I 奥澤の貯水池の資料を用いて、昭和42年から49年までの堆砂量を計算し、結果が図-3である。ただし、この計算に用いて上流端境界条件としては、(5)式と次の(7)式を用いることをもとに、流入流量($30m^3/s$ 以上)および貯水池水位に関するは宝第の7年間の資料を用いた。

$$\frac{\partial L}{\partial t} |_{x=Max} = 0 \quad (7)$$

$$よしに, Q_s = \alpha Q^2, \alpha = 5.1 \times 10^{-6} \text{ (単位: } m \cdot sec) \quad (8)$$

として、浮遊砂ヒウォッシュロードによる堆砂量を推算した。ただし、 $n=0.026$ 、川幅Bは現地資料を用いて ~ 3 。 α 値は昭和45年までの堆砂資料に基づいて決定されたものであるが、従来の観測値の範囲内である。揚流堆積量あるいは浮遊堆積量とも実測値とよく対応しており、このようない方法によって堆砂量あるいは流水土砂量が推算されるものと考えられる。図-4は堆砂形状をミニマーレーションにして結果であるが、浮遊砂はNo.21までは揚流限界地点よりも下流に元河床に平行に堆積するものとして堆砂量が計算される。モデル河床の場合と比較して、水位、流量が変化するため、デルタの先端や角は明瞭でないが、デルタらしいものは形成されない。また、実測のデルタの前進速度の方が、計算値よりも大きくなるようである。この過程は図-5よりも明らかである。一方、浮遊砂はNo.23堆砂は元河床にほぼ平行に堆積するところが可能である。河床材料の変化特性が図-6に示されるが、デルタが通過した時刻から、粒径は小さくなるようである。この場合、背砂の影響範囲は、モデル河床の場合に比べて小さいようである。

(3) Case II ミニマーレーション

Case I の場合とほとんど同じであるが、たとえば境界条件として(5)、(6)式を用いたこと、 $n=0.029$ としている点で異なる。図-7では図-4と対応してあり、両者の間に顕著な差異はないが、デルタの前進速度も計算値よりも実測値の方方が大きい。このことは、流量が $30m^3/s$ 以下でも、貯水池水位が低下しないとはデルタ付近で河床変動が生じることを示唆している。河床材料に関しては、上流端の境界条件が影響して、粒径が非常に小さくなっている。Case I のそれとは相違している。実際には、河床材料は背水端附近でこのようなように小さくなる日があり、粒度の境界条件としては(7)式の方が妥当であろう。交換層厚などに因しては講演時に述べる。最後に、資料を提供して下さった和歌山県砂防課水課の諸氏に深く謝意を表します。[参考文献] 1) 平野: Armouring を用いた河床低下について、土木学会論文報告集、No.195号、1971, 2) 芦田・益上: 移動床流れの抵抗と揚流砂量に関する基礎的研究、土木学会論文報告集、No.206号、1972, 3) 道上・後藤: 貯水池の堆砂過程について、関西支那年譲、昭51.

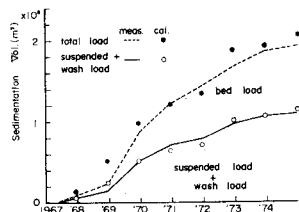


図-3 堆砂量の推計

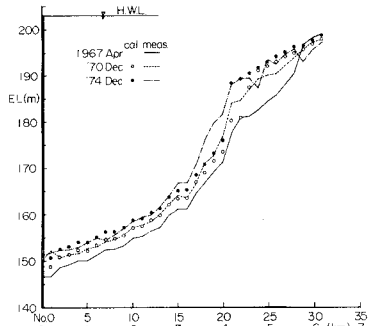


図-4 堆砂形状の比較

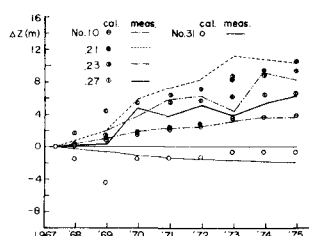


図-5 河床変動量の経年変化

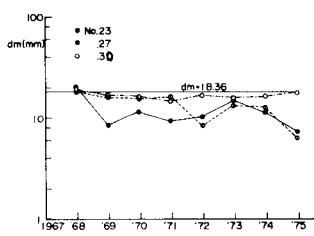


図-6 平均粒径の経年変化
(揚流堆積領域)

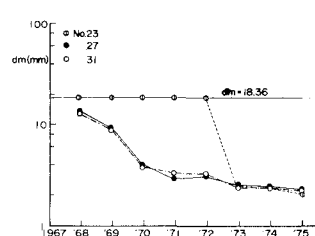


図-7 平均粒径の経年変化

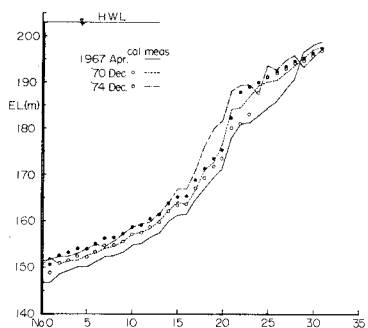


図-8 堆砂形状の比較